

# ПРИБЛИЖЕННОЕ РЕШЕНИЕ СПЕКТРАЛЬНОЙ ЗАДАЧИ ОРРА-ЗОММЕРФЕЛЬДА РЕЗОЛЬВЕНТНЫМ МЕТОДОМ

Малеко Е.М.<sup>1</sup>

**Аннотация:** Спектральная задача Орра-Зоммерфельда является одной из основных задач теории гидродинамической устойчивости. Она описывает устойчивость (или неустойчивость) плоскопараллельного потока вязкой несжимаемой жидкости при произвольно взятых волновом числе  $\alpha$ , числе Рейнольдса  $R$  и профиле скорости  $q(x)$ . В работе функция профиля скорости  $q(x) \in \mathbb{C}^2[-1, 1]$ . Для решения конкретных задач применен метод Галеркина с выбором естественного тригонометрического базиса и компьютер.

**Ключевые слова:** собственные числа, спектр оператора, теория возмущений, гидродинамика, уравнение Орра-Зоммерфельда.

## 1. ПОСТАНОВКА ЗАДАЧИ

Изучается спектральная задача Орра-Зоммерфельда

$$\left( \frac{1}{iR}(D^2 - \alpha^2)^2 - \alpha[q(x)(D^2 - \alpha^2) - q''(x)] \right) y = -\lambda(D^2 - \alpha^2)y, \quad (1)$$

$$y(\pm 1) = y'(\pm 1) = 0, \quad (2)$$

которая играет одну из существенных ролей в гидромеханике. Здесь  $D = \frac{d}{dx}$ ,  $\alpha$  — волновое число,  $R$  — число Рейнольдса,  $\lambda$  — спектральный параметр, а  $\mathbb{C}^2[-1, 1] \ni q(x)$  — профиль скорости течения жидкости в канале  $|x| \leq 1$ .

Существует достаточно большое количество работ, связанных с этой задачей, включая и работы вычислительного характера. В частности, статья М. Неман-Заде и А. Шкаликова [1], статья А. Трефетена, Л. Трефетена и П. Шмидта [2], работа Р. Драйзина и В. Райда [3], широкий обзор Д. Хеннигсона, С. Редди и П. Шмидта [4] и так далее.

Введем оператор

$$M := D^2 - \alpha^2,$$

тогда задачу (1)-(2) можно представить в виде

$$M^2 y - iRa(q(x)M - q''(x))y = \mu M y \quad (3)$$

на области определения

$$\mathcal{D}_0 = \mathcal{D}(M^2) = \mathcal{D}(M) = \{y | y \in W_2^4[-1, 1], y(\pm 1) = y'(\pm 1) = 0\}, \quad (4)$$

---

<sup>1</sup>emaleko@rambler.ru

где  $\mu = -iR\lambda$ ,  $W_2^k[-1, 1]$ ,  $k \geq 0$ , — пространства Соболева. Заметим, что  $\overline{\mathcal{D}_0} = L_2(-1, 1)$ , где замыкание — по норме в  $\mathbb{H} = L_2(-1, 1)$ .

Одним из наиболее важных моментов в решении спектральной задачи Оппа-Зоммерфельда является выяснение знака мнимых компонент точек спектра  $\{\lambda = -\mu/(iR)\}$  при заданных  $\alpha$ ,  $R$  и  $q(x)$ . Это важно для определения асимптотической устойчивости (ламинарности) или асимптотической неустойчивости (турбулентности) течения описываемой в задаче жидкости. В пользу устойчивости течения жидкости говорит достаточно большое количество отрицательных мнимых компонент чисел  $\lambda$ . И наоборот, положительные мнимые компоненты чисел  $\lambda$  "играют" на стороне неустойчивости.

Таким образом, постановка задачи заключается в выяснении вида спектра задачи Оппа-Зоммерфельда и представлении алгоритма вычисления этого спектра резольвентным методом.

## 2. ТЕОРЕТИЧЕСКАЯ РЕАЛИЗАЦИЯ ЗАДАЧИ

Спектральную задачу (3)-(4) с помощью замены  $\varphi = My$  можно представить в виде

$$M\varphi + \tilde{L}\varphi = \mu\varphi, \quad \varphi \in \mathcal{D}_0. \quad (5)$$

Здесь  $\tilde{L} := -iR\alpha(q(x)\mathbb{I} - q''(x)M^{-1})$ ,  $\mathbb{I}$  — тождественный оператор;  $M^{-1} = -L_0^{-1/2}$ ,  $L_0 = M^2$ , так как дискретный оператор  $M$  отрицателен в  $\mathbb{H}$ , его спектр не содержит нулевой точки и оператор  $L_0^{-1}$  — симметричен и положителен в  $\mathbb{H}$ .

Так как оператор  $L_0^{-1}$  — ядерный в  $\mathbb{H}$  и спектр оператора  $L_0$  не содержит нулевой точки, то  $L_0^{-1}$  представим с помощью функции Грина  $G_\alpha(x, \xi)$ . Используя стандартную процедуру построения этой функции, запишем её:

$$\begin{aligned} G_\alpha(x, \xi) = & (1/4)(2 \exp(\alpha(2 + x + \xi))x\alpha^2\xi - \\ & 2 \exp(-\alpha(2 + x + \xi))x\alpha^2\xi + 8 \exp(\alpha(x - \xi))x\alpha^3\xi - \\ & 2 \exp(\alpha(-2 + x + \xi))x\alpha^2\xi + 8 \exp(-\alpha(x - \xi))x\alpha^3\xi + \\ & 2 \exp(-\alpha(-2 + x + \xi))x\alpha^2\xi - 4 \exp(\alpha(x - \xi))\alpha - \\ & 8 \exp(\alpha(x - \xi))x\alpha^3 - 2 \exp(\alpha(2 + x + \xi))\alpha^2\xi - \\ & 8 \exp(-\alpha(x - \xi))x\alpha^3 + 4 \exp(-\alpha(x - \xi))\alpha^2\xi + \\ & 2 \exp(-\alpha(2 + x + \xi))x\alpha^2 + \exp(\alpha(-2 + x + \xi))x\alpha - \\ & 2 \exp(\alpha(2 + x + \xi))x\alpha^2 - \exp(-\alpha(4 + x - \xi))\alpha\xi - \\ & \exp(\alpha(4 + x - \xi))\alpha\xi + \exp(-\alpha(x - \xi))\xi\alpha - \end{aligned}$$

$$\begin{aligned}
& \exp(-\alpha(2+x+\xi))\alpha\xi - 4\exp(\alpha(x-\xi))\alpha^2\xi - \\
& \exp(\alpha(2+x+\xi))x\alpha + \exp(-\alpha(-2+x+\xi))\alpha\xi - \\
& 2\exp(\alpha(-2+x+\xi))x\alpha^2 + \exp(-\alpha(-2+x+\xi))x\alpha - \\
& \exp(\alpha(2+x+\xi))\xi\alpha + \exp(\alpha(4+x-\xi))x\alpha + \\
& 8\exp(-\alpha(x-\xi))\alpha^3\xi + \exp(\alpha(x-\xi))\alpha\xi - \\
& 4\exp(-\alpha(x-\xi))x\alpha^2 - 2\exp(\alpha(-2+x+\xi))\alpha^2\xi + \\
& 2\exp(-\alpha(-2+x+\xi))\alpha^2\xi - \exp(-\alpha(x-\xi))x\alpha + \\
& 4\exp(\alpha(x-\xi))x\alpha^2 + 2\exp(-\alpha(2+x+\xi))\alpha^2\xi + \\
& 8\exp(\alpha(x-\xi))\alpha^3\xi - \exp(-\alpha(2+x+\xi))x\alpha - \\
& \exp(\alpha(x-\xi))x\alpha + \exp(-\alpha(4+x-\xi))x\alpha + \\
& \exp(\alpha(2+x+\xi)) + \exp(\alpha(x-\xi)) - \exp(-\alpha(x-\xi)) - \\
& \exp(-\alpha(2+x+\xi)) - \exp(\alpha(-2+x+\xi)) + \exp(-\alpha(4+x-\xi)) - \\
& \exp(\alpha(4+x-\xi)) + \exp(-\alpha(-2+x+\xi)) + \\
& 2\exp(\alpha(2+x+\xi))\alpha^2 + 2\exp(-\alpha(2+x+\xi))\alpha + \\
& 2\exp(\alpha(-2+x+\xi))\alpha - 8\exp(-\alpha(x-\xi))\alpha^2 + \\
& 2\exp(-\alpha(-2+x+\xi))\alpha^2 - 2\exp(-\alpha(2+x+\xi))\alpha^2 - \\
& 4\exp(-\alpha(x-\xi))\alpha - 2\exp(\alpha(-2+x+\xi))\alpha^2 - \\
& 8\exp(-\alpha(x-\xi))\alpha^3 - 8\exp(\alpha(x-\xi))\alpha^3 + \\
& 2\exp(\alpha(2+x+\xi))\alpha + 8\exp(\alpha(x-\xi))\alpha^2 + \\
& 2\exp(-\alpha(-2+x+\xi))\alpha + \exp(\alpha(-2+x+\xi))\alpha\xi + \\
& 2\exp(-\alpha(-2+x+\xi))x\alpha^2 / ((-\exp(4\alpha) + 2 + \\
& 16\alpha^2 - \exp(-4\alpha))\alpha^3)
\end{aligned}$$

для  $-1 \leq x \leq \xi \leq 1$  и

$$\begin{aligned}
G_\alpha(x, \xi) = & (1/4)(2\exp(\alpha(2+x+\xi))x\alpha^2\xi - \\
& 2\exp(-\alpha(2+x+\xi))x\alpha^2\xi + 8\exp(\alpha(x-\xi))x\alpha^3\xi - \\
& 2\exp(\alpha(-2+x+\xi))x\alpha^2\xi + 8\exp(-\alpha(x-\xi))x\alpha^3\xi + \\
& 2\exp(-\alpha(-2+x+\xi))x\alpha^2\xi - 4\exp(\alpha(x-\xi))\alpha + \\
& 8\exp(\alpha(x-\xi))x\alpha^3 - 2\exp(\alpha(2+x+\xi))\alpha^2\xi + 
\end{aligned}$$

$$\begin{aligned}
& 8 \exp(-\alpha(x - \xi))x\alpha^3 + 4 \exp(-\alpha(x - \xi))\alpha^2\xi + \\
& 2 \exp(-\alpha(2 + x + \xi))x\alpha^2 + \exp(\alpha(-2 + x + \xi))x\alpha - \\
& 2 \exp(\alpha(2 + x + \xi))x\alpha^2 - \exp(-\alpha(x - \xi))\xi\alpha - \\
& \exp(-\alpha(2 + x + \xi))\alpha\xi - 4 \exp(\alpha(x - \xi))\alpha^2\xi - \\
& \exp(\alpha(2 + x + \xi))x\alpha + \exp(-\alpha(-2 + x + \xi))\alpha\xi - \\
& 2 \exp(\alpha(-2 + x + \xi))x\alpha^2 + \exp(-\alpha(-2 + x + \xi))x\alpha - \\
& \exp(\alpha(2 + x + \xi))\xi\alpha - 8 \exp(-\alpha(x - \xi))\alpha^3\xi - \\
& \exp(\alpha(x - \xi))\alpha\xi - 4 \exp(-\alpha(x - \xi))x\alpha^2 - \\
& 2 \exp(\alpha(-2 + x + \xi))\alpha^2\xi + 2 \exp(-\alpha(-2 + x + \xi))\alpha^2\xi + \\
& \exp(-\alpha(x - \xi))x\alpha + 4 \exp(\alpha(x - \xi))x\alpha^2 + \\
& 2 \exp(-\alpha(2 + x + \xi))\alpha^2\xi - 8 \exp(\alpha(x - \xi))\alpha^3\xi - \\
& \exp(-\alpha(2 + x + \xi))x\alpha + \exp(\alpha(x - \xi))x\alpha + \\
& \exp(\alpha(2 + x + \xi)) - \exp(\alpha(x - \xi)) + \exp(-\alpha(x - \xi)) - \\
& \exp(-\alpha(2 + x + \xi)) - \exp(\alpha(-2 + x + \xi)) + \exp(-\alpha(-2 + x + \xi)) + \\
& 2 \exp(\alpha(2 + x + \xi))\alpha^2 + 2 \exp(-\alpha(2 + x + \xi))\alpha + \\
& 2 \exp(\alpha(-2 + x + \xi))\alpha + 8 \exp(-\alpha(x - \xi))\alpha^2 + \\
& 2 \exp(-\alpha(-2 + x + \xi))\alpha^2 - 2 \exp(-\alpha(2 + x + \xi))\alpha^2 - \\
& 4 \exp(-\alpha(x - \xi))\alpha - 2 \exp(\alpha(-2 + x + \xi))\alpha^2 - \\
& 8 \exp(-\alpha(x - \xi))\alpha^3 - 8 \exp(\alpha(x - \xi))\alpha^3 + \\
& 2 \exp(\alpha(2 + x + \xi))\alpha - 8 \exp(\alpha(x - \xi))\alpha^2 + \\
& 2 \exp(-\alpha(-2 + x + \xi))\alpha + \exp(\alpha(-2 + x + \xi))\alpha\xi + \\
& 2 \exp(-\alpha(-2 + x + \xi))x\alpha^2 + \exp(-\alpha(-4 + x - \xi))\alpha\xi - \\
& \exp(-\alpha(-4 + x - \xi))x\alpha - \exp(\alpha(-4 + x - \xi))x\alpha + \\
& \exp(\alpha(-4 + x - \xi))\alpha\xi - \exp(-\alpha(-4 + x - \xi)) + \\
& \exp(\alpha(-4 + x - \xi))/((- \exp(4\alpha) + 2 + 16\alpha^2 - \exp(-4\alpha))\alpha^3)
\end{aligned}$$

для  $-1 \leq \xi \leq x \leq 1$ .

Так как  $\tilde{L}$  ограничен в  $\mathbb{H}$ , то  $M + \tilde{L}$  — дискретный в  $\mathbb{H}$  оператор, то есть его спектр (а равно и спектр задачи Орра-Зоммерфельда) составляют лишь собственные числа. Запишем (5) в виде

$$(M - \nu\mathbb{I})\varphi + \tilde{L}\varphi = (\mu - \nu)\varphi, \quad \varphi \in \mathcal{D}_0,$$

или

$$(M - \nu\mathbb{I})\varphi + \tilde{L}\varphi = \gamma\varphi, \quad \varphi \in \mathcal{D}_0, \quad \gamma = \mu - \nu, \quad (6)$$

где  $\nu$  — положительное число. Как будет показано ниже, можно подобрать  $\nu$  таким большим, чтобы в  $\mathbb{H}$  сходился ряд Неймана для резольвенты  $R_\nu(M + \tilde{L}) = ((M - \nu\mathbb{I}) + \tilde{L})^{-1}$ :

$$R_\nu(M + \tilde{L}) = R_\nu(M) \left( \mathbb{I} + \sum_{k=1}^{\infty} (-1)^k (\tilde{L}R_\nu(M))^k \right), \quad (7)$$

где  $R_\nu(M) = (M - \nu\mathbb{I})^{-1}$ . Оператор  $R_\nu(M)$  — корень квадратный из  $L_\nu^{-1}$ , причём с отрицательным знаком, так как

- 1)  $\mathcal{D}(M - \nu\mathbb{I}) = \mathcal{D}_0 = \{y|y \in W_2^4[-1, 1], y(\pm 1) = y'(\pm 1) = 0\}$ ,
- 2) знак оператора  $M - \nu\mathbb{I}$ , также как и  $M$ , меньше нуля,
- 3)  $L_\nu^{-1}$  — положительный симметрический оператор, являющийся резольвентой к  $L_\nu = (M - \nu\mathbb{I})^2$ ; к тому же  $L_\nu^{-1}$  представим с помощью функции Грина  $G_\beta(x, \xi)$ , записанной выше, только вместо  $\alpha$  надо брать  $\beta = \sqrt{\alpha^2 + \nu}$ .

Процедура вычисления квадратного корня из положительного симметрического оператора описана хорошо в [5, с.224-225].

Теперь о сходимости в  $\mathbb{H}$  ряда (7). Для сходимости достаточно, чтобы спектральная норма  $\|\tilde{L}R_\nu(M)\|_s$  была меньше единицы. Норма  $\|\tilde{L}\|_s < \infty$ , а норма  $\|R_\nu(M)\|_s = 1/|\delta_1 - \nu|$ , где  $\delta_1$  — наименьшее по модулю из всех собственных чисел оператора  $M$ , являющихся отрицательными по знаку. Поэтому для достаточно больших положительных  $\nu$  имеем  $\|\tilde{L}R_\nu(M)\|_s < 1$ .

Далее, собственные числа  $\tilde{\gamma}_k$  ядерного в  $\mathbb{H}$  оператора  $R_\nu(M + \tilde{L})$  дают нам собственные числа  $\lambda_k = -1/(iR)(\nu + 1/\tilde{\gamma}_k)$  задачи Орра-Зоммерфельда. Таким образом, доказано следующее утверждение.

**Утверждение 1** Для произвольных волнового числа  $\alpha$ , числа Рейнольдса  $R$  и профиля скорости  $q(x) \in \mathbb{C}^2[-1, 1]$  можно подобрать достаточно большое положительное число  $\nu$ , чтобы ряд Неймана (7) сходился в  $\mathbb{H}$  к ядерному оператору  $R_\nu(M + \tilde{L})$ , собственные числа  $\tilde{\gamma}_k$  которого дают собственные числа  $\lambda_k = -1/(iR)(\nu + 1/\tilde{\gamma}_k)$  задачи Орра-Зоммерфельда (1)-(2).

Пользуясь данным утверждением, а также методом Галёркина, можно построить алгоритм вычисления первых собственных чисел спектральной задачи Орра-Зоммерфельда.

### 3. АЛГОРИТМ ВЫЧИСЛЕНИЯ СОБСТВЕННЫХ ЧИСЕЛ ЗАДАЧИ ОРРА-ЗОММЕРФЕЛЬДА

Для вычисления собственных чисел исследователи часто используют метод Галёркина. Существенной чертой здесь является выбор базиса (лучше всего ортонормированного (ОНБ) в том или ином СГП). В частности, в работе [1] он ищется в виде

$$y_k(x) = c_{1,k}(\cos \mu_k x_1 - \operatorname{ch} \mu_k x_1) + c_{2,k}(\sin \mu_k x_1 - \operatorname{sh} \mu_k x_1), \quad (8)$$

где  $x_1 = (x + 1)/2$ . Числа  $\mu_k$  являются нулями характеристического определяя, равного  $\operatorname{ch} \mu_k \cos \mu_k - 1$ , которые в [1] вычисляются методом сжимающих отображений, а коэффициенты  $c_{1,k}$  и  $c_{2,k}$  определяются из условий (2) и условия нормировки:  $\|y_k\| = 1$ .

Как показывают расчёты, в качестве ОНБ в  $\mathbb{H} := L_2(-1, 1)$  очень удобен и эффективен тригонометрический базис:

$$y_n^* = \frac{1}{\sqrt{2}} \exp(\pi i n(x + 1)), \quad n = 0, \pm 1, \pm 2, \pm 3, \dots \quad (9)$$

Запишем теперь алгоритм вычисления собственных чисел задачи Орра-Зоммерфельда.

Этап 1. Так как резольвента  $R_\nu(M)$  и  $\tilde{L}$  могут быть определены на всём  $\mathbb{H}$ , то для применения метода Галёркина к ряду (7) вполне устроит выбор ОНБ (9). Нумерацию начнём с  $n = 0$ , затем вместо  $n$  берём  $1, -1, 2, -2$  и так далее, то есть меняем поочерёдно положительные и отрицательные номера при возрастании их модулей. Такая нумерация базиса даёт в итоге очень хорошую аппроксимацию решения. Метод Галёркина подразумевает выбор из ОНБ первых  $\gamma_0$  функций, чтобы получить конечномерное подпространство  $\mathbb{H}_{\gamma_0} := L(y_0^*, y_1^*, y_{-1}^*, \dots, y_{(-\gamma_0-1)/2}^*) \subset \mathbb{H}$ , в котором ищется решение задачи в матричном виде. Всвязи с тем, что  $\mathbb{H}_{\gamma_0} \rightarrow \mathbb{H}$  при  $\gamma_0 \rightarrow \infty$ , обоснование применения метода Галёркина к ряду (7) фактически дано в [5, с.196-197], где описано матричное представление ограниченного линейного оператора, определенного на всём СГП  $\mathbb{H}$ .

Этап 2. С помощью ФСР задач

$$L_0 \varphi = 0, \quad \varphi \in \mathcal{D}_0,$$

$$L_\nu \varphi = 0, \quad \varphi \in \mathcal{D}_0,$$

стандартным образом находим функции Грина (ядра) операторов  $L_0^{-1}$  и  $L_\nu^{-1}$  соответственно.

Этап 3. В  $\mathbb{H}_{\gamma_0}$  определяем матричные представления операторов  $L_0^{-1}$ ,  $L_\nu^{-1}$  и  $\tilde{L}$ .

Этап 4. Находим матричные представления операторов  $R_0(M) = M^{-1}$  и  $R_\nu(M) = (M - \nu\mathbb{I})^{-1}$  как корней квадратных со знаком минус из матриц операторов  $L_0^{-1}$  и  $L_\nu^{-1}$  соответственно. Квадратные корни ищем, используя подход, описанный В.А. Садовничим в [5, с.224-225] для положительного симметрического оператора  $A$ . Дадим его краткое описание. Будем считать, не ограничивая общности, что  $0 < A < \mathbb{I}$  (в противном случае операторы  $L_0^{-1}$  и  $L_\nu^{-1}$  домножаем на положительные коэффициенты, меньшие единицы). Пусть  $A = \mathbb{I} - B$  ( $0 < B < \mathbb{I}$ ) и  $X = A^{1/2} = \mathbb{I} - Y$ . Тогда решение уравнения  $X^2 = (A^{1/2})^2 = A$  эквивалентно решению уравнения

$$Y = \frac{1}{2}(B + Y^2).$$

Решаем это уравнение методом последовательных приближений:

$$Y_0 = 0, \quad Y_1 = \frac{1}{2}B, \dots, \quad Y_{n-1} = \frac{1}{2}(B + Y_n^2), \quad n \geq 0.$$

Последовательность  $\{Y_n\}$  сходится и предел её служит решением требуемого уравнения.

При реальном вычислении предела  $Y$  можно задать такое малое положительное число  $\varepsilon_0$ , чтобы спектральная норма  $\|Y_n - Y_{n-1}\|_s \leq \varepsilon_0$ , и положить  $Y \approx Y_n$ .

Этап 5. Составляем ряд Неймана (7) для оператора  $R_\nu(M + \tilde{L})$  в матричной форме, заменяя  $\infty$  над знаком суммы на  $\gamma_0$ . При этом оператор  $R_\nu(M + \tilde{L})$  заменится на матрицу  $AR_\nu^{(\gamma_0)}(M + \tilde{L})$ . Для сходимости ряда ( $\gamma_0 \rightarrow \infty$ ) выбирается заранее положительное  $\nu$  таким большим, чтобы  $\|A\tilde{L}^{(\gamma_0)}AR_\nu^{(\gamma_0)}(M)\|_s < 1$  для любого  $\gamma_0$ , начиная с некоторого натурального числа (в случае невыполнения неравенства следует вернуться и начать с этапа 2, выбрав при этом число  $\nu$  значительно большим, а число  $\varepsilon_0$  — меньшим). Здесь  $A\tilde{L}^{(\gamma_0)}$ ,  $AR_\nu^{(\gamma_0)}(M)$  — матричные представления операторов  $\tilde{L}$ ,  $R_\nu(M)$  в  $\mathbb{H}_{\gamma_0}$ .

Этап 6. Ищем собственные числа  $\tilde{\gamma}_k^{(\gamma_0)}$  матрицы  $AR_\nu^{(\gamma_0)}(M + \tilde{L})$ , которые дают приближённые собственные числа  $\lambda_k^{(\gamma_0)} = -1/(iR)(\nu + 1/\tilde{\gamma}_k^{(\gamma_0)})$  задачи Оппа-Зоммерфельда (1)-(2).

Таким образом, алгоритм состоит из шести этапов, реализовать который на компьютере можно, используя, к примеру, математический пакет *Maple*. Важно при этом помнить, что с учётом вычислительной погрешности уже для небольших размерностей ( $5 \leq \gamma_0 \leq 50$ ) число значащих цифр (Digits) желательно брать не менее 60-ти.

#### 4. ПРИМЕРЫ

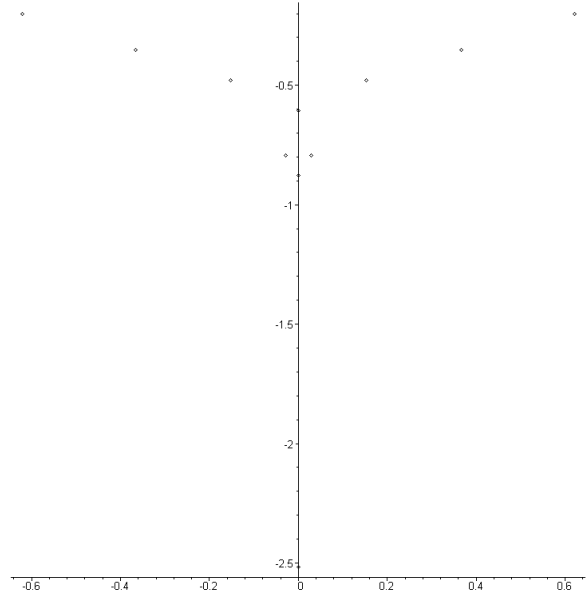
Пусть даны три профиля скорости течения жидкости  $q(x)$  в канале  $|x| \leq 1$ :

- А)  $q(x) = x$  — течение жидкости называется *течением Күэтта*,
- Б)  $q(x) = x^2$  — течение *Пузейля*,
- В)  $q(x) = \exp(x)$  — течение жидкости будем называть *течением с экспоненциальным профилем скорости*.

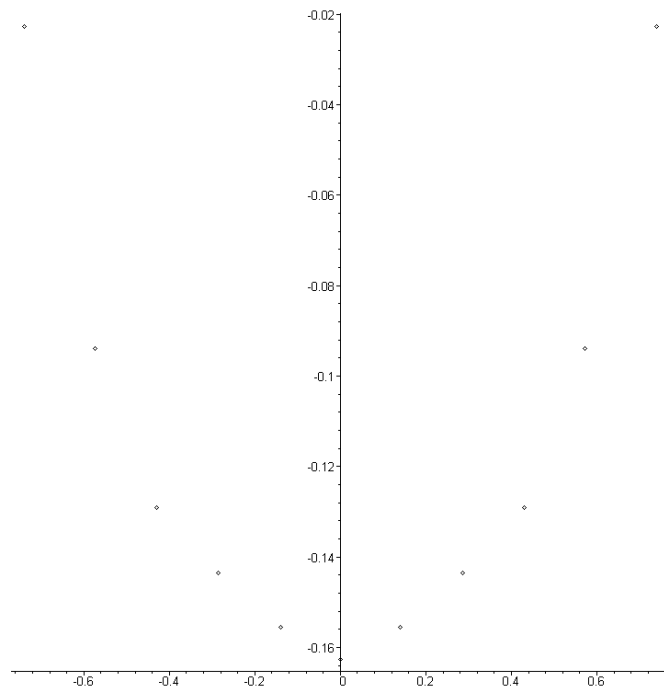
Каждый из профилей рассматриваем совместно с некоторыми числами Рейнольдса  $R$  при одном и том же волновом числе  $\alpha = 1$ . Таким образом, приближённо реализуем задачу Оппа-Зоммерфельда с некоторыми различными условиями. В вычислениях используем математический пакет Maple, в котором количество значащих цифр в десятичной системе счисления установим равным шестидесяти (Digits:=60) при размерности  $\gamma_0 = 11$ . Размерность  $\gamma_0$  пусть и небольшая, но уже при ней виден характер течения жидкости (ламинарное или турбулентное) при времени работы от 14 до 17 минут 2-х или 4-х ядерного компьютера с тактовой частотой около 2 ГГц и оперативной памятью около 2 Гб. Этого, в принципе, вполне достаточно, чтобы продемонстрировать эффективность метода. А в случае необходимости, для большей точности получаемого результата,  $\gamma_0$  и Digits увеличиваются, внутренние приближения (корень квадратный из положительно-го симметрического оператора и ряд Неймана) находятся точнее, берётся более мощный компьютер.

*Результаты расчётов задачи Орра-Зоммерфельда (з.О-3).*

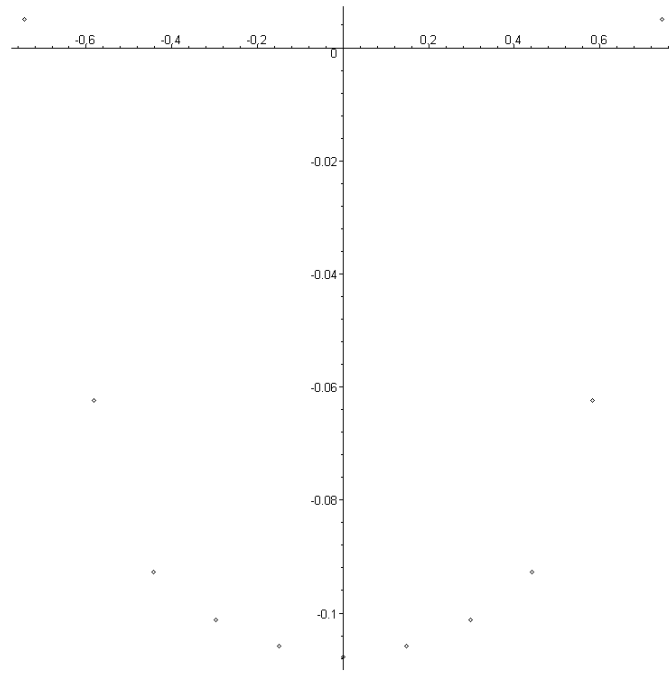
*Пример 1. Течение Куэтта:  $q(x) = x$ . Приближённые собственные числа з.О-3 для  $R = 200$ ,  $\alpha = 1$ ,  $\gamma_0 = 11$ .*



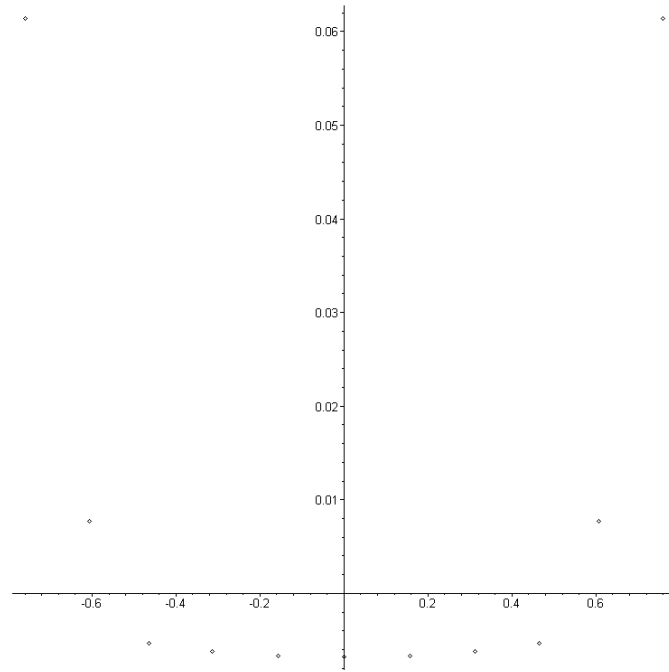
*Пример 2. Течение Куэтта:  $q(x) = x$ . Приближённые собственные числа з.О-3 для  $R = 500$ ,  $\alpha = 1$ ,  $\gamma_0 = 11$ .*



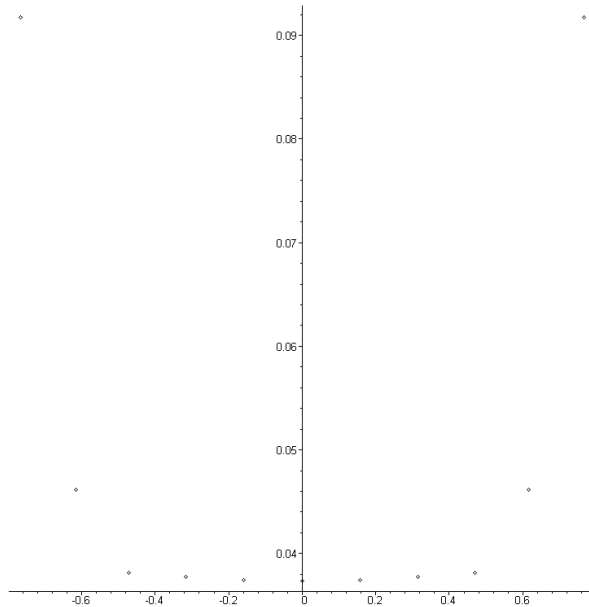
*Пример 3.* Течение Куэтта:  $q(x) = x$ . Приближённые собственные числа з.О-З для  $R = 520$ ,  $\alpha = 1$ ,  $\gamma_0 = 11$ .



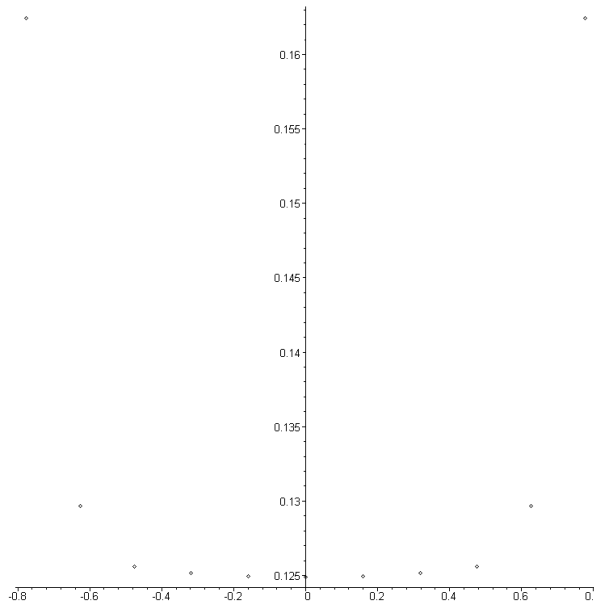
*Пример 4.* Течение Куэтта:  $q(x) = x$ . Приближённые собственные числа з.О-З для  $R = 600$ ,  $\alpha = 1$ ,  $\gamma_0 = 11$ .



*Пример 5.* Течение Куэтта:  $q(x) = x$ . Приближённые собственные числа з.О-З для  $R = 640$ ,  $\alpha = 1$ ,  $\gamma_0 = 11$ .

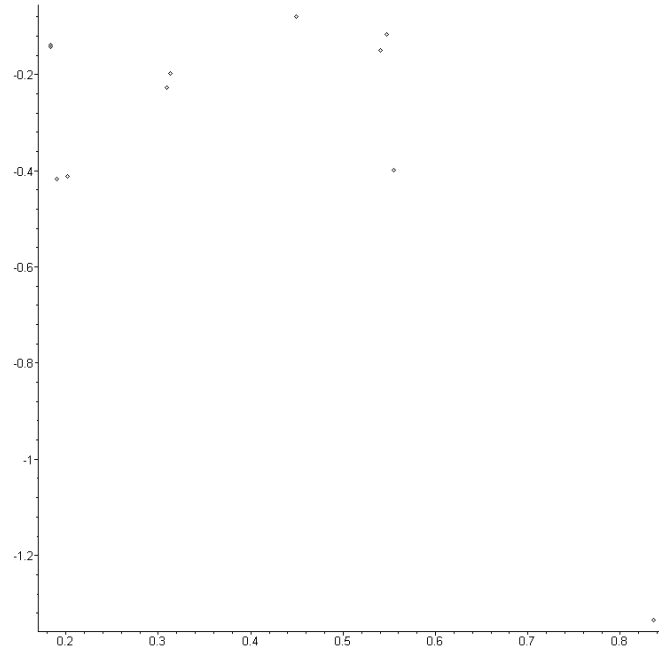


*Пример 6.* Течение Куэтта:  $q(x) = x$ . Приближённые собственные числа з.О-З для  $R = 700$ ,  $\alpha = 1$ ,  $\gamma_0 = 11$ .

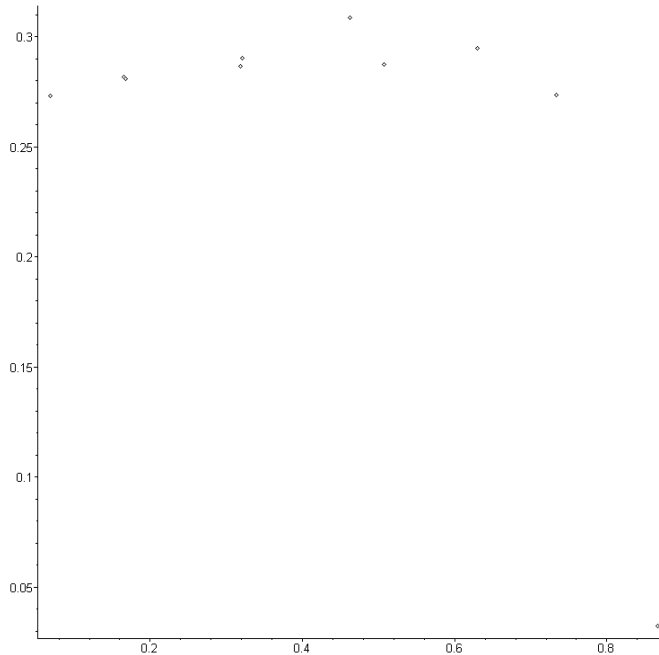


*Вывод:* Течение Куэтта **неустойчиво** при  $R \geq 640$ , а **устойчивость** наблюдается при  $R \leq 200$ . На отрезке  $[200, 640]$  устойчивость течения постепенно переходит в неустойчивость.

*Пример 7.* Течение Пуазейля:  $q(x) = x^2$ . Приближённые собственные числа з.О-З для  $R = 350$ ,  $\alpha = 1$ ,  $\gamma_0 = 11$ .

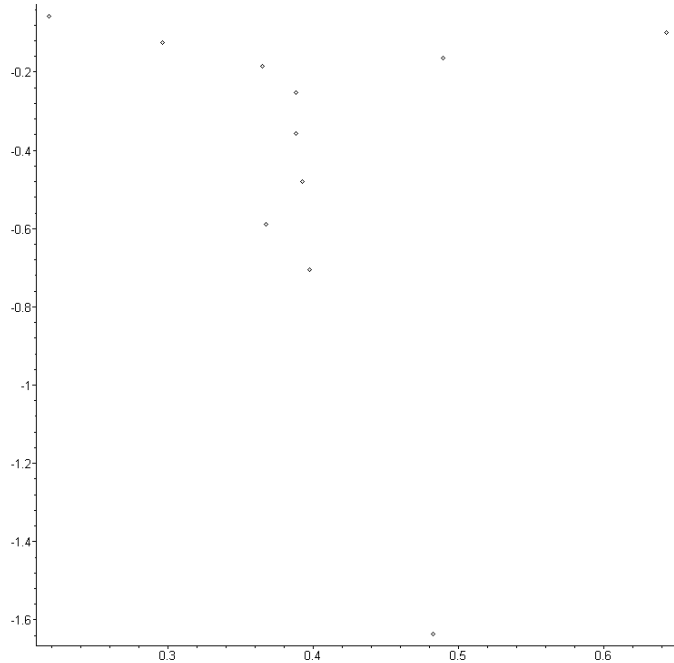


*Пример 8.* Течение Пуазейля:  $q(x) = x^2$ . Приближённые собственные числа з.О-З для  $R = 800$ ,  $\alpha = 1$ ,  $\gamma_0 = 11$ .

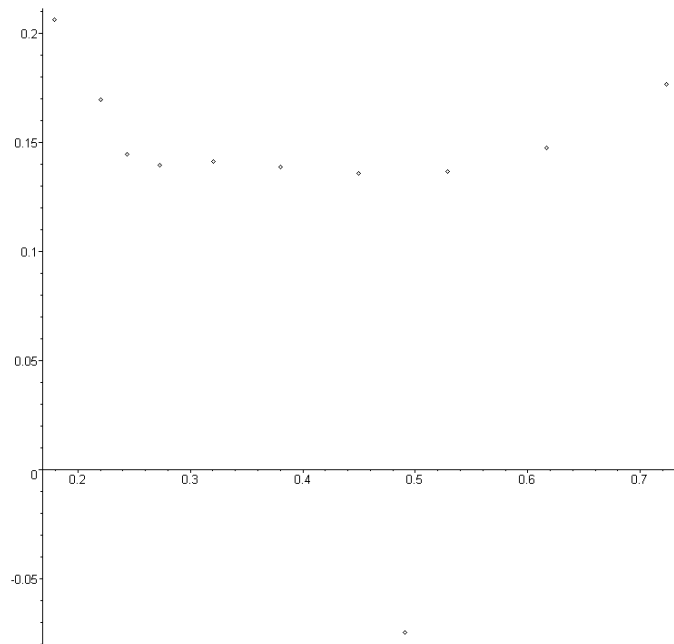


*Вывод:* Течение Пуазейля **устойчиво** при  $R \leq 350$  и **неустойчиво** при  $R \geq 800$ . На отрезке  $[350, 800]$  устойчивость течения постепенно переходит в неустойчивость.

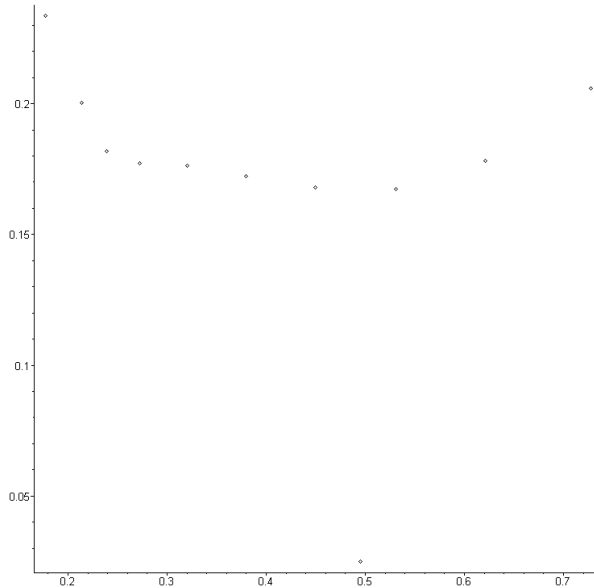
*Пример 9.* Течение с экспоненциальным профилем скорости:  $q(x) = \exp(x)/3$ .  
Приближённые собственные числа з.О-З для  $R = 300$ ,  $\alpha = 1$ ,  $\gamma_0 = 11$ .



*Пример 10.* Течение с экспоненциальным профилем скорости:  $q(x) = \exp(x)/3$ .  
Приближённые собственные числа з.О-З для  $R = 700$ ,  $\alpha = 1$ ,  $\gamma_0 = 11$ .



*Пример 11.* Течение с экспоненциальным профилем скорости:  $q(x) = \exp(x)/3$ .  
Приближённые собственные числа з.О-З для  $R = 750$ ,  $\alpha = 1$ ,  $\gamma_0 = 11$ .



*Вывод:* Течение с экспоненциальным профилем скорости **неустойчиво** при  $R \geq 750$ , а **устойчиво** при  $R \leq 300$ . На отрезке  $[300, 750]$  устойчивость течения постепенно переходит в неустойчивость. Видим, что достаточно обычного домашнего компьютера, чтобы неплохо решить задачу, которая играет очень важную роль в механике сплошных сред.

## Список литературы

- [1] Нейман-Заде М.И., Шкаликов А.А. О вычислении собственных значений задачи Орра-Зоммерфельда. // Фундаментальная и прикладная математика. 2002. Т. 8. № 1. С. 301-305.
- [2] Trefethen A.E., Schmidt P.J. Spectra and pseudospectra for pipe Poiseuille flow. // Comp. Meth. Appl. Mech. Engr. 1999. P. 413-420.
- [3] Draizin R.G., Reid W.H. Hydrodynamic Stability. Cambridge, 1981.
- [4] Hanningson D.S., Reddy S.C., Schmidt P.J. Pseudospectra of the Orr-Sommerfeld operator. // SIAM. J. Appl. Math. 1993. Vol. 53. № 1. P. 15-47.
- [5] Садовничий В.А. Теория операторов. Изд. 2 М.: Изд-во Моск. ун-та, 1986.